

一类保凸插值样条曲线^{* 1)}

韩道康

(北京航空学院)

AN INTERPLATING SPLINE CURVE WITH KEEPING CONVEXITY

Han Dao-kang

(Beijing Institute of Aeronautics and Astronautics)

Abstract

In this paper, a kind of cubic interpolating spline curves is constructed through joining each two successive points on the plane with three pieces of cubic uniform B-Spline curves. Its keeping convexity is similar to that of the cubic B-Spline curve when parameter λ is properly selected. Moreover, it has continuous derivative of second order and explicit form.

一、样条公式

设在平面上给定 n 个点 $\{p_i\}_{i=1}^n$, 点 p_i 处的矢量也用记号 p_i 表示。再给定 p_0, p_n 处的导矢为 p'_0, p'_n . 用下式增加两点

$$p_0 = p_2 - 2p'_1, \quad p_{n+1} = 2p'_n + p_{n-1},$$

用曲线 $s_i(t)$ 来联接 $\{p_i\}_{i=1}^n$ 中两点 p_{i-1} 及 p_i , 如果 $p_{i-1} = p_i$, 则 $s_i(t) = p_i$, 如果 $p_{i-1} \neq p_i$, 则 $s_i(t)$ 是由特征折线多边形 $f_{i,1} f_{i,2} f_{i,3} f_{i,4} f_{i,5} f_{i,6}$ 决定的三段三次均匀 B 样条曲线组成。

$$s_i(t) = \sum_{k=1}^6 f_{i,k} M_3(t+2-k) \quad (0 \leq i \leq 3), \quad (1)$$

其中 $M_3(t)$ 是均匀三次 B 样条基函数,

$$M_3(t) = \frac{1}{6} \sum_{j=0}^4 (-1)^j C_4^j (t+2-j)_+^3.$$

令 $s_i(t)$ 满足边界条件

$$\begin{cases} s_i(0) = P_{i-1}, & s'_i(0) = \lambda(p_i - p_{i-2}), & s''_i(0) = \lambda(p_i - 2p_{i-1} + p_{i-2}), \\ s_i(3) = p_i, & s'_i(3) = \lambda(p_{i+1} - p_{i-1}), & s''_i(3) = \lambda(p_{i+1} - 2p_i + p_{i-1}), \end{cases} \quad (2)$$

* 1982 年 9 月 15 日收到。

1) 作者已调航空工业部三〇四研究所工作。

其中 λ 非负。由(1)与(2)式

$$\begin{bmatrix} p_{i-1} \\ p_i \\ \lambda(p_i - p_{i-2}) \\ \lambda(p_{i+1} - p_{i-1}) \\ \lambda(p_i - 2p_{i-1} + p_{i-2}) \\ \lambda(p_{i+1} - 2p_i + p_{i-1}) \end{bmatrix} = \begin{bmatrix} \frac{1}{6} & \frac{2}{3} & \frac{1}{6} & 0 & 0 & 0 \\ 0 & 0 & 0 & \frac{1}{6} & \frac{2}{3} & \frac{1}{6} \\ -\frac{1}{2} & 0 & \frac{1}{2} & 0 & 0 & 0 \\ 0 & 0 & 0 & -\frac{1}{2} & 0 & \frac{1}{2} \\ 1 & -2 & 1 & 0 & 0 & 0 \\ 0 & 0 & 0 & 1 & -2 & 1 \end{bmatrix} \begin{bmatrix} f_{i,1} \\ f_{i,2} \\ f_{i,3} \\ f_{i,4} \\ f_{i,5} \\ f_{i,6} \end{bmatrix}. \quad (3)$$

由于(3)式右边数值矩阵是满秩的, 故可由(3)式唯一解出诸 $\{f_{i,k}\}_{k=1}^6$ 。说明当 λ 确定后, 曲线 $s_i(t)$ 是存在且唯一的。由(3)得到

$$\left\{ \begin{array}{l} f_{i,1} = -\frac{2\lambda}{3} p_i + \left(1 - \frac{2\lambda}{3}\right) p_{i-1} + \frac{4\lambda}{3} p_{i-2}, \\ f_{i,2} = -\frac{\lambda}{6} p_i + \left(1 + \frac{\lambda}{3}\right) p_{i-1} - \frac{\lambda}{6} p_{i-2}, \\ f_{i,3} = \frac{4\lambda}{3} p_i + \left(1 - \frac{2\lambda}{3}\right) p_{i-1} - \frac{2\lambda}{3} p_{i-2}, \\ f_{i,4} = -\frac{2\lambda}{3} p_{i+1} + \left(1 - \frac{2\lambda}{3}\right) p_i + \frac{4\lambda}{3} p_{i-1}, \\ f_{i,5} = -\frac{\lambda}{6} p_{i+1} + \left(1 + \frac{\lambda}{3}\right) p_i - \frac{\lambda}{6} p_{i-1}, \\ f_{i,6} = \frac{4\lambda}{3} p_{i+1} + \left(1 - \frac{2\lambda}{3}\right) p_i - \frac{2\lambda}{3} p_{i-1}. \end{array} \right. \quad (4)$$

本文后面要讨论 λ 的选取。将(4)式代入(1)式并整理, 把 $s_i(t)$ 写成另一种形式:

$$s_i(t) = p_{i-2}\varphi_1(t) + p_{i-1}\varphi_2(t) + p_i\varphi_3(t) + p_{i+1}\varphi_4(t), \quad (5)$$

其中

$$\left\{ \begin{array}{l} \varphi_1(t) = \frac{4\lambda}{3} M_3(t+1) - \frac{\lambda}{6} M_3(t) - \frac{2\lambda}{3} M_3(t-1), \\ \varphi_2(t) = \left(1 - \frac{2\lambda}{3}\right) M_3(t+1) + \left(1 + \frac{\lambda}{3}\right) M_3(t) + \left(1 - \frac{2\lambda}{3}\right) M_3(t-1), \\ \quad + \frac{4\lambda}{3} M_3(t-2) - \frac{\lambda}{6} M_3(t-3) - \frac{2\lambda}{3} M_3(t-4), \\ \varphi_3(t) = -\frac{2\lambda}{3} M_3(t+1) - \frac{\lambda}{6} M_3(t) + \frac{4\lambda}{3} M_3(t-1) + \left(1 - \frac{2\lambda}{3}\right) \\ \quad \times M_3(t-2) + \left(1 + \frac{\lambda}{3}\right) M_3(t-3) + \left(1 - \frac{2\lambda}{3}\right) M_3(t-4), \\ \varphi_4(t) = -\frac{2\lambda}{3} M_3(t-2) - \frac{\lambda}{6} M_3(t-3) + \frac{4\lambda}{3} M_3(t-4) \quad (0 \leq t \leq 3). \end{array} \right. \quad (6)$$

二、保凸性条件

我们来选择 λ , 使所有的曲线段都是保凸的。为此, 我们先选仅使某段 $s_i(t)$ 保凸的控制参数 $\lambda^{(i)}$, 它使 $s_i(t)$ 的形状完全决定于折线 $p_{i-2}p_{i-1}p_ip_{i+1}$ 在 p_{i-1} 及 p_i 两点的凸凹情况。若折线在 p_{i-1} 点 p_i 点同时凸, 则 $s_i(t)$ 凸; 若折线在 p_{i-1} 点凸, 在 p_i 点凹, 则 $s_i(t)$ 由凸变凹。恰有一拐点; 若 $p_{i-2}p_{i-1}p_ip_{i+1}$ 有相邻三点共线时, 我们选择 $\lambda^{(i)}$, 使 $s_i(t)$ 呈现较“理想”状态。令(如图 1)

$$\left\{ \begin{array}{l} a_1^{(i)} = p_{i-1} - p_{i-2}, \quad a_2^{(i)} = p_i - p_{i-1}, \quad a_3^{(i)} = p_{i+1} - p_i, \\ C_{12}^{(i)} = \det |a_1^{(i)} a_2^{(i)}|, \quad C_{23}^{(i)} = \det |a_2^{(i)} a_3^{(i)}|, \quad C_{31}^{(i)} = \det |a_3^{(i)} a_1^{(i)}|, \\ b_k^{(i)} = f_{i,k+1} - f_{i,k} \quad (k = 1, 2, 3, 4, 5), \\ c_q^{(i)} = f_{i,1} - f_{i,q} \quad (q = 4, 5, 6), \\ \bar{e}^{(i)} = f_{i,3} - f_{i,6} \quad (\text{见图 2}) \end{array} \right. \quad (7)$$

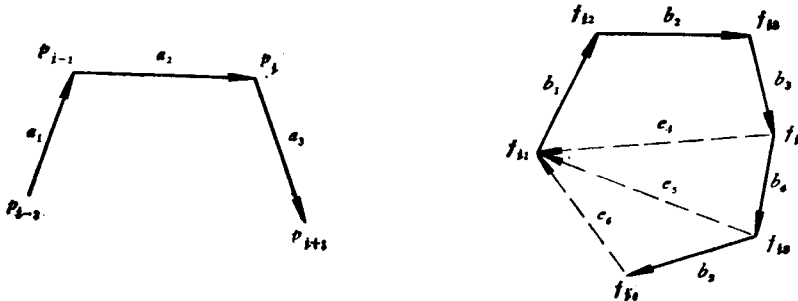


图 1

在研究第 i 段曲线 $s_i(t)$ 时, 为了书写简洁在不致引起混淆的情况下, 我们将(7)式中各量的上标记号略去不写, 例如记 $\lambda^{(i)}$ 为 λ , $a_1^{(i)}$ 为 a_1 等等。

由(4)式和(7)式得到

$$\left\{ \begin{array}{l} b_1 = \frac{3\lambda}{2} a_1 + \frac{\lambda}{2} a_2, \quad b_2 = \frac{\lambda}{2} a_1 + \frac{3\lambda}{2} a_2, \\ b_3 = -\frac{2\lambda}{3} a_1 + \left(1 - \frac{8\lambda}{3}\right) a_2 - \frac{2\lambda}{3} a_3, \quad b_4 = \frac{3\lambda}{2} a_2 + \frac{\lambda}{2} a_3, \\ b_5 = \frac{\lambda}{2} a_2 + \frac{3\lambda}{2} a_3, \\ e_4 = -\frac{4\lambda}{3} a_1 - \left(1 - \frac{2\lambda}{3}\right) a_2 + \frac{2\lambda}{3} a_3, \quad e_5 = -\frac{4\lambda}{3} a_1 - \left(1 + \frac{5\lambda}{6}\right) a_2 + \frac{\lambda}{6} a_3, \\ e_6 = -\frac{4\lambda}{3} a_1 - \left(1 + \frac{4\lambda}{3}\right) a_2 - \frac{4\lambda}{3} a_3, \quad \bar{e} = \frac{2\lambda}{3} a_1 - \left(1 - \frac{2\lambda}{3}\right) a_2 - \frac{4\lambda}{3} a_3, \end{array} \right. \quad (8)$$

及

$$\det |b_1 b_2| = 2\lambda^3 C_2,$$

$$\left\{ \begin{array}{l} \det |b_2 b_3| = \left(\frac{\lambda}{2} - \frac{\lambda^2}{3} \right) C_{12} - \lambda^2 C_{23} + \frac{\lambda^2}{3} C_{31}, \\ \det |b_3 b_4| = -\lambda^2 C_{12} + \left(\frac{\lambda}{2} - \frac{\lambda^2}{3} \right) C_{23} + \frac{\lambda^2}{3} C_{31}, \\ \det |b_4 b_5| = 2\lambda^2 C_{23}, \\ \det |b_3 e_4| = (2\lambda - 4\lambda^2) C_{12} - \frac{4\lambda^2}{3} C_{23} + \frac{4\lambda^2}{3} C_{31}, \\ \det |e_4 b_1| = \left(\frac{3\lambda}{2} - \frac{5\lambda^2}{3} \right) C_{12} - \frac{\lambda^2}{3} C_{23} + \lambda^2 C_{31}, \\ \det |e_5 b_1| = \left(\frac{3\lambda}{2} + \frac{7\lambda^2}{12} \right) C_{12} - \frac{\lambda^2}{12} C_{23} + \frac{\lambda^2}{4} C_{31}, \\ \det |b_4 e_5| = 2\lambda^2 C_{12} + \left(\frac{\lambda}{2} + \frac{2\lambda^2}{3} \right) C_{23} - \frac{2\lambda^2}{3} C_{31}, \\ \det |b_5 e_6| = \frac{2\lambda^2}{3} C_{12} + \left(\frac{3\lambda}{2} + \frac{4\lambda^2}{3} \right) C_{23} - 2\lambda^2 C_{31}, \\ \det |e_6 b_1| = \left(\frac{3\lambda}{2} + \frac{4\lambda^2}{3} \right) C_{12} + \frac{2\lambda^2}{3} C_{23} - 2\lambda^2 C_{31}, \end{array} \right. \quad (9)$$

以及

$$\left\{ \begin{array}{l} \det |b_5 \bar{e}| = -\frac{\lambda^2}{3} C_{12} + \left(\frac{3\lambda}{2} - \frac{5\lambda^2}{3} \right) C_{23} + \lambda^2 C_{31}, \\ \det |\bar{e} b_3| = -\frac{4\lambda^2}{3} C_{12} + (2\lambda - 4\lambda^2) C_{23} + \frac{4\lambda^2}{3} C_{31}. \end{array} \right. \quad (10)$$

有关 $s_i(t)$ 的保凸性, 我们分下面各种情况讨论, 以下假定 $p_{i-1} \neq p_i$.

1) 设折线 $p_{i-2} p_{i-1} p_i p_{i+1}$ 在 p_{i-1}, p_i 点同时凸

$$C_{12} < 0, \quad C_{23} < 0. \quad (11)$$

我们希望 $s_i(t)$ 凸. 当(9)式中十个式子全小于零时, $f_{i,1} f_{i,2} f_{i,3} f_{i,4} f_{i,5} f_{i,6}$ 是凸折线. 它们决定的三段三次均匀 B 样条曲线 $s_i(t)$ 应是凸的^[3]. (9) 式中前七个式子小于零的充分条件是

$$|C_{31}| < \min \left[\left(\frac{3}{2\lambda} - 1 \right) |C_{12}| - 3|C_{23}|, \left(\frac{3}{2\lambda} - 1 \right) |C_{23}| - 3|C_{12}| \right]. \quad (12)$$

后三个式子小于零的充分条件是:

$$|C_{31}| < \min \left[\left(\frac{3}{4\lambda} + \frac{2}{3} \right) |C_{12}| + \frac{1}{3} |C_{23}|, \left(\frac{3}{4\lambda} + \frac{2}{3} \right) |C_{23}| + \frac{1}{3} |C_{12}| \right]. \quad (13)$$

把(12)与(13)式统一为

$$\begin{aligned} |C_{31}| &< \min \left[\left(\frac{3}{4\lambda} - \frac{1}{2} \right) |C_{12}| - \frac{3}{2} |C_{23}|, \right. \\ &\quad \left. \left(\frac{3}{4\lambda} - \frac{1}{2} \right) |C_{23}| - \frac{3}{2} |C_{12}| \right]. \end{aligned} \quad (14)$$

这是 $s_i(t)$ 是凸曲线的条件.

2) 更进一步, 如果 $p_{i-2} p_{i-1} p_i p_{i+1}$ 还是凸折线, 这时, 不仅(11)式应成立, 还应有^[5]

$$C_{31} > 0 \text{ 或 } C_{31} < 0 \text{ 但 } |C_{31}| < \min(|C_{12}|, |C_{23}|). \quad (15)$$

这时只要(12)式成立, $s_i(t)$ 便凸.

因为, 当 $C_{12} < 0, C_{23} < 0, C_{31} > 0$ 时,(9)式中最后三式已小于零, 而当 $C_{12} < 0, C_{23} < 0, C_{31} < 0$ 且 $|C_{31}| < \min(|C_{12}|, |C_{23}|)$ 时,(9)式中最后三个式子中的 C_{12} 和 C_{23} 用 C_{31} 代之, 它们还小于零, 说明(9)式中后三式小于零. 因此在这两种情况下, 只是(9)式中前七个式子小于零的不等式起作用, 故(12)式成立时 $s_i(t)$ 凸.

3) 设折线 $p_{i-2}p_{i-1}p_ip_{i+1}$ 在 p_{i-1} 点凸, 在 p_i 点凹, 即

$$C_{12} < 0, \quad C_{23} > 0. \quad (16)$$

我们希望 $s_i(t)$ 的第一段曲线凸, 第二段由凸变凹, 有一个拐点, 第三段凹. 这只须折线 $f_{i,1}f_{i,2}f_{i,3}f_{i,4}$ 凸, 折线 $f_{i,2}f_{i,3}f_{i,4}f_{i,5}$ 在 $f_{i,3}$ 点凸, 在 $f_{i,4}$ 点凹, 折线 $f_{i,3}f_{i,4}f_{i,5}f_{i,6}$ 凹(如图 2 所示), 即

$$\begin{cases} \det|b_1b_2| < 0, \det|b_2b_3| < 0, \det|b_3e_4| < 0, \det|e_4b_1| < 0, \\ \det|b_3b_4| > 0, \det|b_4b_5| > 0, \det|b_5\bar{e}| > 0, \det|\bar{e}b_3| > 0, \end{cases} \quad (17)$$

(17)式中前六个不等式的左边是(9)式中的前六式, 后两个不等式左边是(10)式中的两个式子. 通过计算, 当(12)式成立时,(17)式成立. $s_i(t)$ 由凸变凹恰有一个拐点.

4) 假定 $p_{i-2}p_{i-1}p_ip_{i+1}$ 有相邻三点共线, 比如 p_{i-1}, p_i, p_{i+1} 三点共线. 本文排除讨论如 p_{i+1} 点落在射线 $\mathbf{p}_i\mathbf{p}_{i-1}$ 上这种折线回头的情况. 设

$$C_{12} < 0, \quad C_{23} = 0, \quad C_{31} > 0. \quad (18)$$

我们希望组成 $s_i(t)$ 的第一段曲线凸, 第二段由凸变凹, 有一个拐点, 第三段凹, 在终点与 $p_{i-1}p_ip_{i+1}$ 所在直线相切. 这只要(见图 3)

$$\begin{cases} \det|b_1b_2| < 0, \det|b_2b_3| < 0, \det|b_3e_4| < 0, \det|e_4b_1| < 0, \\ \det|b_3b_4| > 0, \det|b_4b_5| = 0, \det|b_5\bar{e}| > 0, \det|\bar{e}b_3| > 0. \end{cases} \quad (19)$$

由于 p_{i-1}, p_i, p_{i+1} 三点共线, 由(2)式知 $s'_i(3)$ 与 $s''_i(3)$ 也和 $p_{i-1}p_ip_{i+1}$ 所在直线共线, 且 $\det[s'_i(3)s''(3)] = 0$, 说明 $s_i(t)$ 在端点 $s_i(3)$ 处, 与直线 $p_{i-1}p_ip_{i+1}$ 是一阶导矢与二阶导矢相切, 且点 $s_i(3)$ 是拐点.

由(9),(10),(18)式, 易求出(19)式成立的条件

$$|C_{31}| < \left(\frac{3}{2\lambda} - 3\right)|C_{12}|. \quad (20)$$

对 $C_{12} > 0, C_{23} = 0, C_{31} < 0$ 作类似讨论, 仍会得到“理想”控制条件(20). 对 $C_{12} = 0, C_{23} \neq 0$ 作类似讨论, 得“理想”控制条件

$$|C_{31}| < \left(\frac{3}{2\lambda} - 3\right)|C_{23}|. \quad (21)$$

5) 设 $p_{i-2}, p_{i-1}, p_i, p_{i+1}$ 四点共线, 即

$$C_{12} = 0, \quad C_{23} = 0, \quad C_{31} = 0. \quad (22)$$

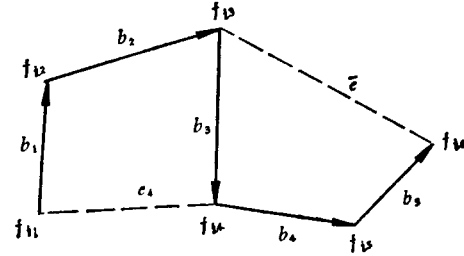


图 2

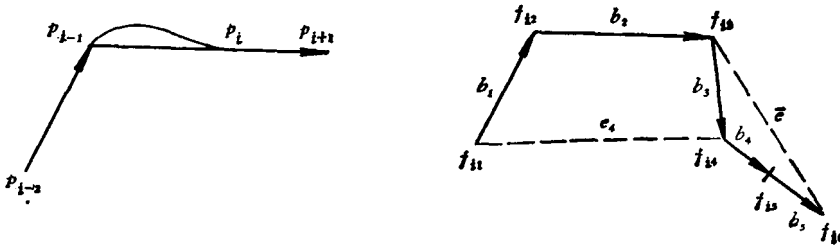


图 3

从(9)式得

$$\det |b_1 b_2| = \det |b_2 b_3| = \det |b_3 b_4| = \det |b_4 b_5| = 0,$$

说明 $f_{i,1} f_{i,2} f_{i,3} f_{i,4} f_{i,5} f_{i,6}$ 共线,无论 λ 选何值, $s_i(t)$ 都描绘出 $p_{i-1} p_i$ 线段。

进一步,只要 $C_{12} \cdot C_{23} > 0$ 及(14)成立, $s_i(t)$ 是保凸的;只要折线 $p_{i-1} p_{i-1} p_i p_{i+1}$ 是凸或凹折线及(12)式成立, $s_i(t)$ 是凸或凹曲线;只要 $C_{12} \cdot C_{23} < 0$ 及(12)式成立, $s_i(t)$ 是保凸的,而对 $C_{12} \cdot C_{23} = 0$ 的情况,我们在4),5)中已作了分析。

我们对以上情况进行综合,恢复上标记号令

$$E^{(i)} = \max(|C_{12}^{(i)}|, |C_{23}^{(i)}|), \quad F^{(i)} = \min(|C_{12}^{(i)}|, |C_{23}^{(i)}|). \quad (23)$$

A) 如果下列三组条件

$$\begin{cases} (i) \quad C_{12}^{(i)} C_{23}^{(i)} > 0 \text{ 且 } C_{12}^{(i)} C_{31}^{(i)} < 0, \\ (ii) \quad C_{12}^{(i)} C_{23}^{(i)} > 0 \quad C_{12}^{(i)} C_{31}^{(i)} > 0 \text{ 且 } |C_{31}^{(i)}| < F^{(i)}, \\ (iii) \quad C_{12}^{(i)} \cdot C_{23}^{(i)} < 0, \end{cases} \quad (24)$$

有一组成立,则选 $\lambda^{(i)}$ 使(12)式成立,或使

$$|C_{31}^{(i)}| < \left(\frac{3}{2\lambda^{(i)}} - 1 \right) F^{(i)} - 3E^{(i)} \quad (25)$$

选

$$0 < \lambda^{(i)} < \frac{3F^{(i)}}{2(|C_{31}^{(i)}| + 3E^{(i)} + F^{(i)})}. \quad (26)$$

B) 如果

$C_{12}^{(i)} \cdot C_{23}^{(i)} > 0$, $C_{12}^{(i)} C_{31}^{(i)} > 0$ 且 $|C_{31}^{(i)}| > F^{(i)}$ 选 $\lambda^{(i)}$ 使(14)式成立,或

$$|C_{31}^{(i)}| < \left(\frac{3}{4\lambda^{(i)}} - \frac{1}{2} \right) F^{(i)} - \frac{3}{2} E^{(i)} \quad (27)$$

选

$$0 < \lambda^{(i)} < \frac{3F^{(i)}}{2(2|C_{31}^{(i)}| + 3E^{(i)} + F^{(i)})}. \quad (28)$$

C) 如果

$$E^{(i)} > 0, \quad F^{(i)} = 0,$$

综合(20),(21)两式

$$|C_{31}^{(i)}| < \left(\frac{3}{2\lambda^{(i)}} - 3 \right) E^{(i)} \quad (29)$$

选

$$0 < \lambda^{(i)} < \frac{3E^{(i)}}{2(|C_{33}^{(i)}| + 3E^{(i)})}. \quad (30)$$

D) 如果

$$E^{(i)} = F^{(i)} = 0,$$

可任选 $\lambda^{(i)}$, $s_i(t)$ 都是线段 $p_{i-1}p_i$, 选

$$\lambda^{(i)} = 1. \quad (31)$$

把适合每一段的 $\lambda^{(i)}$ 选出后, 我们再来选适合整条曲线的 λ , 它使整条曲线保凸

$$\lambda = \min_i(\lambda^{(i)}). \quad (32)$$

在构造曲线时, 若要拟合折线 $P_1P_2\cdots P_n$, 令 $\lambda = 0$ 即可。若仅需在 p_{i-1}, p_i 两点之间拟合直线段, 取 $p_{i-2} = p_{i-1}$, $p_i = p_{i+1}$ 即可。若要求曲线与某直线段相切, 取相邻三点共线即可, 甚为方便(图 4)。

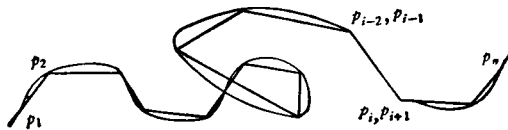


图 4

三、讨 论

1. 在 $C_{12}^{(i)}$ 与 $C_{33}^{(i)}$ 同号但折线 $p_{i-2}p_{i-1}p_ip_{i+1}$ 不是凸折线又不是凹折线时, 它们决定的三次 B 样曲线可能出现多余拐点^[2]。本曲线不会出现多余拐点。在折线 $p_{i-2}p_{i-1}p_ip_{i+1}$ 有相邻三点共线时, 一段三次 B 样条出现一个拐点。本文曲线出现两个拐点, 但第二个拐点是该曲线段的端点。因此二者保凸性大致相当。

2. 如果要求计算简便且对保凸性要求不高的场合, 可任选一个正数 λ , 用我们的曲线作显示插值比较方便。由于它适合非均匀插值, 故可作为论文[6]中介绍的适合均匀参数插值的多结点样条函数的补充。

3. 如果各段用不同的 $\lambda^{(i)}$, 则得到保凸的但是是一阶斜率连续的拟合曲线。

4. 在实际运用中, 只对关键部位选统一的 λ 值。其余部份也用这个 λ 值则在该部分可能不保凸, 但关键部位的保凸性得到了保证。

本文得到熊振翔教授、吴骏恒导师的指导, 特此致谢。

参 考 文 献

- [1] W. J. Gordon, R. F. Riesenfeld, B-Spline Curves and Surface, CAGD 1974.
- [2] 苏步青, 刘鼎元, 计算几何, 上海科学技术出版社, 1981, 44—100.
- [3] 施法中, 北京航空学院硕士论文, 1981.
- [4] 国外航空编辑部, 计算机辅助几何设计, 北京, 1978. p 6.
- [5] 韩道康, 三次非均匀 B 样条的保凸性定理, 北京航空学院硕士论文, 1981.
- [6] 李岳生, 齐东旭, 样条函数方法, 科学出版社, 北京, 1979, 110—114.